## 軸方向力が作用するRCはり部材のせん断耐力評価における可変角トラス理論の適用

大阪工業大学工学部 正員 〇三方 康弘 大阪工業大学工学部 正員 井上 晋

### 1. はじめに

2012 年制定の土木学会コンクリート標準示方書(設計編)では、PC はり部材の設計せん断耐力評価において可変角トラス理論が適用されたが、軸方向引張力を受ける RC はり部材については、十分な知見が得られていないことや、軸方向引張力が大きい場合には  $\cot\theta$  の値として解を持たない場合が生じることから、RC はり部材には適用されていない。しかしながら、RC はり部材の合理的な設計手法を確立する観点から、可変角トラス理論の適用が望まれている。そこで、本研究では軸方向引張力が RC はり部材のせん断耐力に及ぼす影響を把握することを目的として、主鉄筋比、軸方向引張応力を要因とした RC はり部材の載荷試験を実施した。

### 2. 実験概要

載荷試験に用いた RC はり供試体の断面形状・寸法を図-1 に示す. 実験要因として,①軸方向引張応力(0 N/mm², 0.5 N/mm², 1.0 N/mm²の3種類)②主鉄筋の径(D16(p=2.3%), D19(p=3.4%)の2種類)を選定した. これらの要因の組合せにより合計6体のはり供試体を作製した. それらの詳細を表-1 に示す. 載荷方法は全長 1330mm に対し曲げスパン 300mm, せん断スパン425mmとした(a/d=2.5)対称二点集中荷重方式とした. また,図-1,写真-1のように,供試体端部に鉄筋を埋込み,引張軸力用の治具を取り付け,支点の回転変形を拘束せずに引張軸力を作用させた. 載荷時には引張軸力をロードセルにて管理し,所定の引張応力を保持しながら載荷試験を実施した.

### 3. 各種せん断耐力式

せん断破壊荷重の計算値はコンクリート標準示方書式,  $\cot \theta$  法を用いたせん断耐力式, 田村らの式  $^{1)}$ を用いて算定した.  $\cot \theta$  法を用いたせん断耐力式(式(1)), 田村らの式(式(4))を下記に示す.

$$V_{cd} = \beta_d \cdot \beta_p \cdot \beta_n \cdot f_{vcd} \cdot b_w \cdot d/\gamma_b$$
 (1)

$$\beta_{\rm n} = \cot\theta = \sqrt{1 + \sigma_{cq}/f_{vtd}} \tag{2}$$

 $\sigma_{cg}$ :断面高さの 1/2 の高さにおける平均プレストレスであり、ここでは軸方向引張応力を用いる

f<sub>vtd</sub>:コンクリートの引張強度

$$V_{sd} = A_w \cdot f_{wvd} (\sin \alpha_s \cdot \cot \theta + \cos \alpha_s) / S_s \cdot Z / \gamma_b$$
 (3)

$$V_{cd} = \beta_d \cdot \beta_p \cdot \beta_{pw-n} \cdot f_{vcd} \cdot b_w \cdot d/\gamma_b$$
 (4)

$$\beta_{pw-n} = 1 + 2M_0/M_u \tag{5}$$

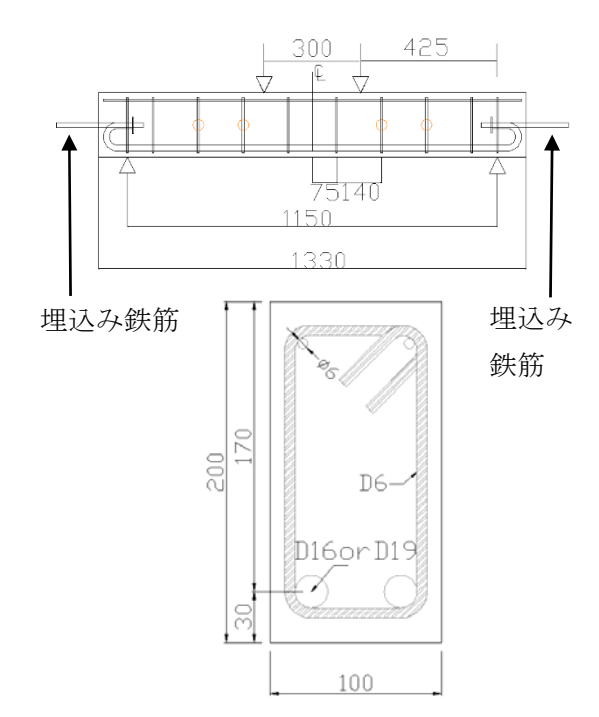


図-1 供試体の断面形状・寸法(mm)





写真-1 軸方向引張力の導入状況

# 4. 実験結果

コンクリート標準示方書式で算定されたものを $\beta_n$ 法とし、 $\cot\theta$  法、田村らの式による計算結果を表-1 に、図-2 にひび割れ状況、図-3 に D19 を用いた供試体における最大作用せん断力の実測値およびせん断耐力の計

キーワード:可変角トラス理論,軸方向引張力,せん断, $\cot\theta$ 法,RCはり

連絡先: 〒535-8585 大阪府大阪市旭区大宮 5-16-1 TEL 06-6954-4182

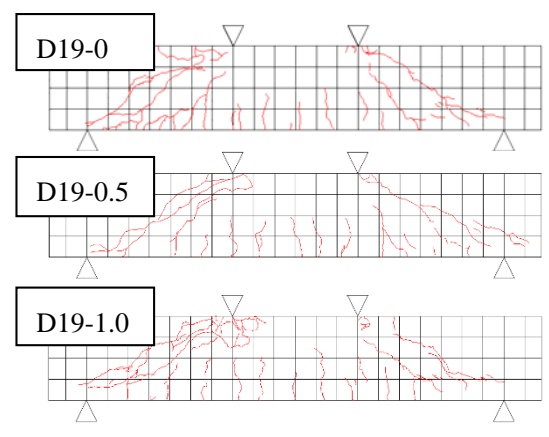
供試体	主鉄	引張	曲げ	せん断破壊荷重の計算値			最大荷重	
	筋の	応力	破壊荷重	$\mathrm{P}_{\mathrm{ub}}$			(実測値)	
	種類	$(N/mm^2)$	計算值	(kN)			$P_{\rm u}$	破壊形式
			$P_{ub}$	( )内は <b>V</b> cの計算値			(kN)	
			(kN)	β <sub>n</sub> 法	$\cot\! heta$ 法	田村らの式		
D16-0	D16	0.0	100.2	104.4 (21.7)	104.4 (21.7)	104.4 (21.7)	108.3	曲げ引張
D16-0.5	D16	0.5	100.1	100.8 (19.9)	92.6 (19.2)	102.6 (20.8)	108.3	曲げ引張
D16-1.0	D16	1.0	100.1	97.4 (18.2)	79.0 (16.4)	100.8 (19.9)	107.6	曲げ引張
D19-0	D19	0.0	135.5	110.0 (24.5)	110.0 (24.5)	110.0 (24.5)	145.2	斜め引張
D19-0.5	D19	0.5	135.4	107.0 (23.0)	97.6 (21.7)	108.6 (23.8)	145.2	斜め引張
D19-1.0	D19	1.0	135.4	104.2 (21.6)	83.4 (18.6)	107.0 (23.0)	134.2	斜め引張

供試体の詳細および試験結果 表-1

算値と軸方向引張応力関係を示す. 主鉄筋に D16 を用いた供 試体はいずれも曲げ引張破壊に至り、最大荷重はほぼ同程度 であった.一方,主鉄筋に D19 を用いた供試体はせん断ひび 割れが顕著に発生し、斜め引張破壊に至った. D19-1.0 は D19-0, D19-0.5 と比較して最大荷重が低下した.

図-3において、β<sub>n</sub>法、田村らの式を用いた場合は軸方向引 張応力の増加に伴って、せん断耐力の計算値が若干低下して いるものの,最大作用せん断力の実測値と比較して,低下割合 は小さい. 一方, cot θ 法を用いた場合は軸方向引張応力の増 加に伴ってせん断耐力の計算値が低下しており, 最大作用せ ん断力の実測値の低下挙動を安全側に評価している. cot θ 法 はコンクリート負担せん断力の低下だけでなく、式(3)で算定 される可変角トラス理論を用いているため、せん断補強筋負 担せん断力も低下していることから、β<sub>n</sub>法、田村らの式を用 いた場合と比較して, せん断耐力の計算値が低下した.

しかしながら、図-2のひび割れ状況からは軸方向引張応力 の増加に伴って、斜めひび割れの傾斜角が大きくなる挙動は 確認されず、本実験からは 1.0N/mm<sup>2</sup>程度の軸方向引張応力 では、可変角トラス理論の適用性は確認できなかった.



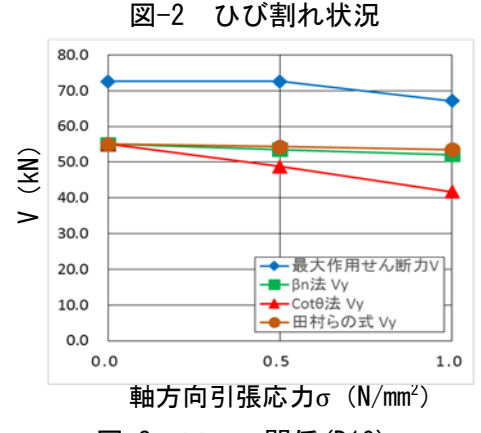


図-3 V $-\sigma$ 関係(D19)

このことから、1.0N/mm<sup>2</sup> 程度の軸方向引張応力によりせん断破壊荷重が低下した主要因は、軸方向引張応 力の増加に伴ってせん断ひび割れの開口幅が大きくなり、骨材のかみ合わせ作用が低下したことによるコン クリート負担せん断力の低下であると考えられる.

### 5. 結論

本実験の結果から, cot θ 法を用いたせん断耐力式は軸方向引張応力の増加に伴う最大作用せん断力の実測 値の低下挙動を安全側に評価した. しかし、1.0N/mm<sup>2</sup> 程度の軸方向引張応力では、せん断ひび割れの傾斜角 には変化が確認されず,可変角トラス理論の適用性は確認できなかった.

#### 謝辞

本研究は吉田研究奨励賞の研究課題として実施した。ここに謝意を表します。

### 参考文献

1)田村,重松,原,丸山:軸方向引張力を受けるRC梁のせん断耐力算定式に関する一考察,土木学会論文 集, No. 520, V-28, pp225-234, 1995.8